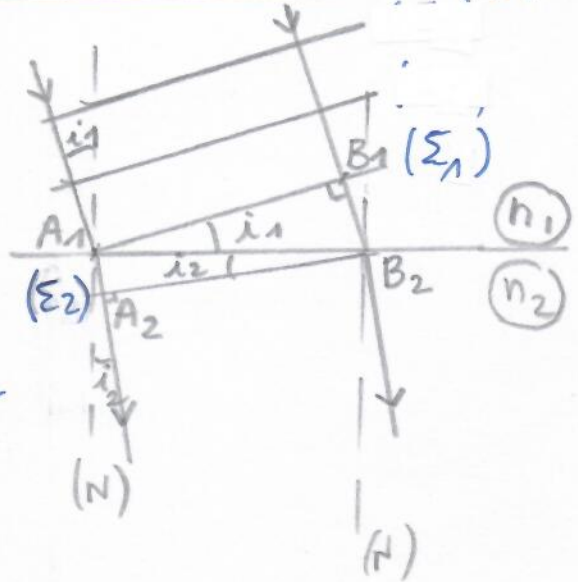


Ex 1.1. <sup>Ex 1.4 poly</sup> loi de Snell - Descartes et théorème de Malus Opt. Ond  
TD1. Ex ①

1) Soient  $(\Sigma_i)$  des surfaces d'onde.

- D'après le théorème de Malus, la surface d'onde est perpendiculaire au rayon lumineux en chacun de ses points.

Ici,  $A_1$  et  $B_1 \in (\Sigma_1)$  et on peut dessiner les 2 rayons lumineux passant respectivement par  $A_1$  et  $B_1$  dans le milieu 1.



- La réfraction des rayons lumineux entraîne celle des plans d'onde (qui leur sont toujours orthogonaux d'après le théorème de Malus).
- Hypothèse :  $n_1 < n_2 \Leftrightarrow v_1 < v_2$   
le rayon se réfracte en se rapprochant de la normale  
Soit  $A_2$  le point tel que  $A_2B_2$  constitue un plan d'onde perpendiculaire au rayon dans le milieu 2.
- Entre les surfaces d'onde  $(\Sigma_1)$  à la date  $t$  et  $(\Sigma_2)$  à la date  $(t + \Delta t)$ , la propagation des rayons permet d'écrire

$$\Delta t = \frac{B_1B_2}{v_1} \quad (\text{propagation dans le milieu 1})$$

$$\Delta t = \frac{A_1A_2}{v_2} \quad ( \quad \quad \quad " \quad \quad \quad 2 )$$

$$\text{avec } \begin{cases} v_1 = \frac{c}{n_1} & \text{et } v_2 = \frac{c}{n_2} \\ \sin i_1 = \frac{B_1B_2}{A_1B_2} & \text{et } \sin i_2 = \frac{A_1A_2}{A_1B_2} \end{cases}$$

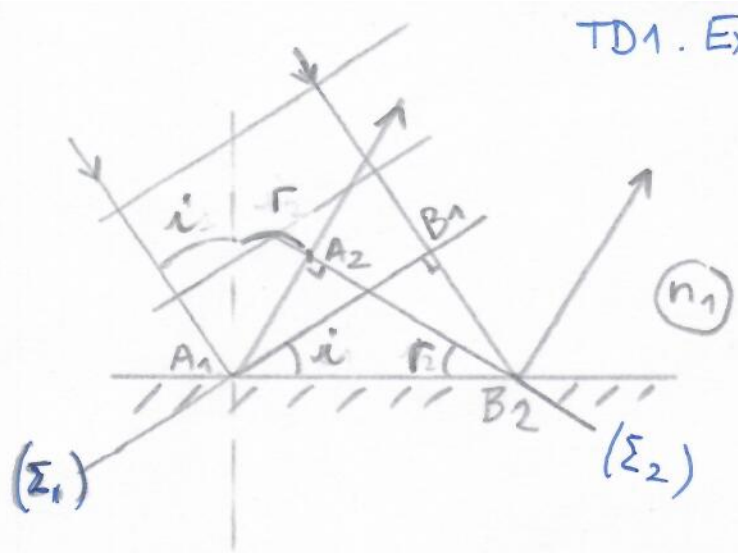
$$\Rightarrow \Delta t = \frac{B_1B_2}{v_1} = \frac{A_1B_2 \sin i_1}{(c/n_1)} = \frac{A_1B_2 \sin i_2}{(c/n_2)} = \frac{A_1A_2}{v_2}$$

on retrouve ainsi la loi de la réfraction de Descartes

$$\boxed{n_1 \sin i_1 = n_2 \sin i_2}$$

2).  $A_1$  et  $B_1 \in (\Sigma_1)$   
 $A_2$  et  $B_2 \in (\Sigma_2)$

Entre les surfaces d'onde  
 $(\Sigma_1)$  à la date  $t$  et  $(\Sigma_2)$   
à la date  $(t + \Delta t)$ , la  
propagation des rayons  
permet d'écrire :



$$\Delta t = \frac{A_1 A_2}{v_1} = \frac{B_1 B_2}{v_1}$$

$$\text{or } \sin i = \frac{B_1 B_2}{A_1 B_2} \quad \text{et} \quad \sin r = \frac{A_1 A_2}{A_1 B_2}$$

$$\Rightarrow \Delta t = \frac{A_1 B_2}{\sin r} = \frac{A_1 B_2}{\sin i} \Rightarrow \sin i = \sin r$$

$$\boxed{i = r}$$

on retrouve ainsi la loi de la réflexion de Descartes.



$$\delta_{AB} = 2 \text{ m} \sqrt{a^2 + d^2} \quad \text{différence de marche}$$

$(0, -a)A$

$$\psi_{AB} = \frac{2\pi}{\lambda_0} \times 2n \sqrt{a^2 + d^2} + \pi (\text{réflexion sur 1 miroir})$$

Diagram illustrating the setup for Young's double-slit interference experiment. A horizontal line represents the wavefront, with points A, A', and B marked. A double-slit barrier is shown between A' and B. A distance  $d$  is indicated between A and B. A vertical dashed line passes through the midpoint of the barrier.

$$\begin{aligned}(A \cdot B) &= (A \cdot A') + (A' \cdot B') + (B' \cdot B) \\&= (A \cdot A') + (B' \cdot B) + (A' \cdot B') \\&= n_{\text{air}} \times (d - e) + n_v \times e\end{aligned}$$

Ex3  $\delta_{2/1} = (SM)_2 - (SM)_1$

Diagram illustrating the geometry of a lens system. A vertical axis represents the optical axis. Two horizontal lines represent the object plane (labeled 1) and the image plane (labeled 2). A point  $A_1$  is on the object plane, and its image  $A_2$  is on the image plane. A point  $A_3$  is on the object plane, and its image  $A_4$  is on the image plane. A point  $H$  is on the object plane, and its image  $H'$  is on the image plane. The distance between the object and image planes is  $2i$ . The angle between the optical axis and the line connecting  $A_1$  and  $A_2$  is  $\alpha$ . The angle between the optical axis and the line connecting  $A_3$  and  $A_4$  is  $\alpha$ . The angle between the optical axis and the line connecting  $H$  and  $H'$  is  $\alpha$ . The angle between the optical axis and the line connecting  $A_1$  and  $A_3$  is  $\alpha$ . The angle between the optical axis and the line connecting  $A_2$  and  $A_4$  is  $\alpha$ . The angle between the optical axis and the line connecting  $H$  and  $A_1$  is  $\alpha$ . The angle between the optical axis and the line connecting  $H'$  and  $A_2$  is  $\alpha$ . The angle between the optical axis and the line connecting  $A_1$  and  $A_3$  is  $\alpha$ . The angle between the optical axis and the line connecting  $A_2$  and  $A_4$  is  $\alpha$ . The angle between the optical axis and the line connecting  $H$  and  $A_1$  is  $\alpha$ . The angle between the optical axis and the line connecting  $H'$  and  $A_2$  is  $\alpha$ .

me plan  $A_2$ ).  
 Inverse de  
 et  $A_1$  e  
 c  $(MA_1) = (MA_4)$

$\sin \alpha = \sin \left( \frac{\pi}{2} - 2i \right)$   
 $= \cos 2i$   
 $= \cos^2 i$

$$\begin{aligned}\sin \alpha &= \sin \left( \frac{\pi}{2} - 2i \right) \\ &= \cos 2i \\ &= \frac{1 + \cos^2 i}{2}\end{aligned}$$
$$\sigma_{2/1} = (A_2 A_3 + A_3 A_4) n_{air}$$

11.  $(A_2 A_3 A_4)$ ,  $\sin \alpha = \frac{A_3 A_4}{A_2 A_3} \Rightarrow A_3 A_4 = \sin \alpha \left( \frac{e}{\cos i} \right)$

$$\delta_{2/1} = n_{air} \left[ \frac{e}{\cos i} \right] (1 + \sin \alpha) = n_{air} \frac{e}{\cos i} (1 + \cos 2i) = n_{air} \frac{e}{\cos i} (2 \cos^2 i)$$

Rem :  $\Delta\varphi_{2/1} = \frac{2\pi}{\lambda_0} \delta_{2/1} + \Delta\varphi_{\text{surf}} = \frac{2\pi}{\lambda_0} (2n_{\text{air}} e \cos i) + 2 \times \pi$



Ex 4  $\delta_{2/1} = (SF')_2 - (SF')_1$

$\delta_{2/1} = (SB) + (BF') - (SA) - (AF')$  Soit

or A et B  $\in$  au même plan d'onde  
donc  $(SA) = (SB)$

$\delta_{2/1} = (BF') - (AF')$

A et B  $\in$  au même plan d'onde.

La lentille est un système optique. (A et F' sont conjugués par L  
ainsi que B et F') donc  $(BF') = (AF')$

$\boxed{\delta_{2/1} = 0}$

Ex 5  $\delta = (AC) - (BC)$

Par le principe du retour inverse  
de la lumière B et D  $\in$  au même  
plan d'onde donc  $(DC) = (BC)$

$\delta = (AD) + (DC) - (BC) = (AD)$

Dans le triangle (ABD),  $\sin \theta = \frac{AD}{AB} = \frac{AD}{a}$

$\boxed{\delta = n_{air} \times a \sin \theta}$

Rem : pour des petits angles  $\sin \theta \approx \theta$  et  $\tan \theta = \frac{CF'}{f'} \approx \theta$   
 $\delta = n_{air} a \frac{CF'}{f'}$  (triangle (OCF'))

Ex 6  $\delta_{2/1} = (SM)_2 - (SM)_1 = (SS_2) + (S_2M) - (SS_1) - (S_1M)$

avec  $(SS_2) - (SS_1) = (n - n_{air})e$  (Exemple 2)

et  $(S_2M) - (S_1M) = n_{air} a \sin \alpha'$  (Méthode Al-Kashi)

$\delta_{2/1} = (n - n_{air})e + n_{air} a \sin \alpha'$

$\boxed{\delta_{2/1} \approx (n - n_{air})e + n_{air} a \frac{\alpha}{D}}$  à démontrer.

Méthode al-Kashi ou loi des cosinus

$a^2 = b^2 + c^2 - 2bc \cos \gamma$

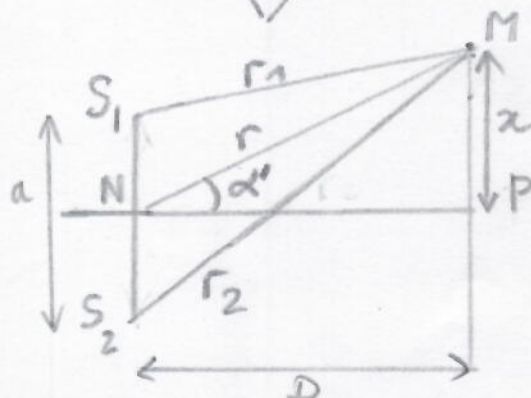
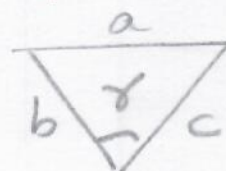
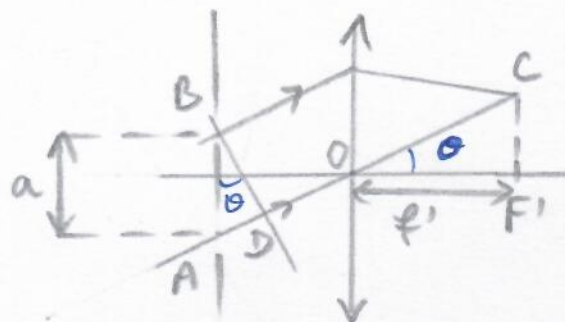
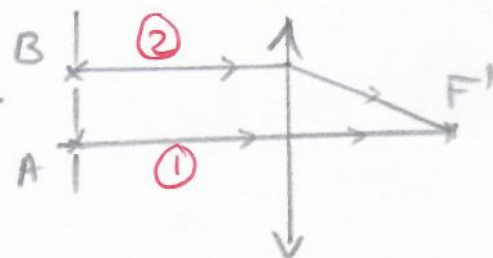
$r_1^2 = \left(\frac{a}{2}\right)^2 + r^2 - 2 \frac{a}{2} r \cos \left(\frac{\pi}{2} - \alpha'\right)$

$= r^2 \left[ 1 - \frac{a}{r} \sin \alpha' + \left(\frac{a}{2r}\right)^2 \right]$

$r_1 = r \left[ 1 - \frac{a}{r} \sin \alpha' + \left(\frac{a}{2r}\right)^2 \right]^{1/2}$

DL  $\rightarrow$  ordre 1 en  $a/2$   $r_1 \approx r \left[ 1 - \frac{a}{2r} \sin \alpha' + \frac{1}{2} \left(\frac{a}{2r}\right)^2 \right]$  ordre 2

$\boxed{r_1 \approx r - \frac{a}{2} \sin \alpha'}$



De même

Opt ond TD 1 (5)

$$r_2 = r + \frac{a}{2} \sin \alpha'$$

$$(S_2 M) - (S_1 M) = (r_2 - r_1) n_{\text{air}} = n_{\text{air}} a \sin \alpha'$$

Pour des petits angles  $\sin \alpha' \simeq \alpha'$

Dans le triangle (NMP) on a  $\tan \alpha' = \frac{x}{D} \simeq \alpha'$

$$\Rightarrow (S_2 M) - (S_1 M) \simeq n_{\text{air}} a \frac{x}{D}$$

$$\boxed{\delta_{2/1} = (n - n_{\text{air}}) e + n_{\text{air}} a \frac{x}{D}}$$

Ex 7  $\delta_{2/1} = (SM)_2 - (SM)_1$

$$\delta_{2/1} = (SS_2) + (S_2 M) - (SS_1) - (S_1 M)$$

$$\delta_{2/1} = (SS_2) - (SS_1) + (S_2 M) - (S_1 M)$$

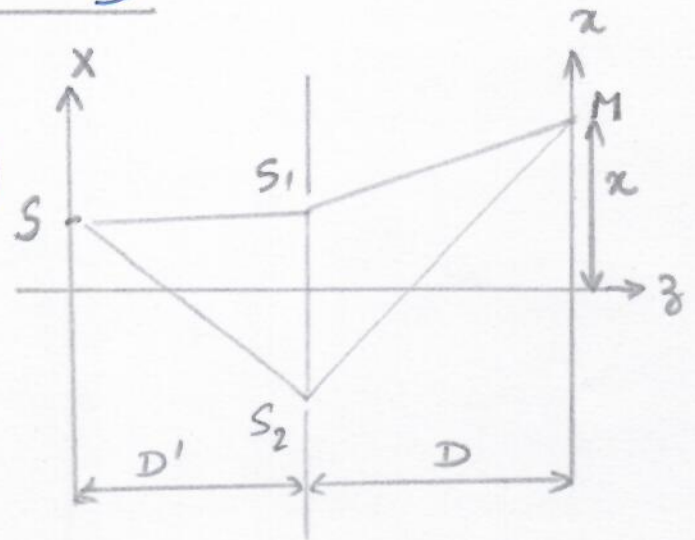
D'après l'Ex 6, on a

$$(S_2 M) - (S_1 M) = n_{\text{air}} a \frac{x}{D}$$

Par analogie, on a

$$(SS_2) - (SS_1) = n_{\text{air}} a \frac{x}{D'}$$

$$\boxed{\delta_{2/1} = n_{\text{air}} a \left( \frac{x}{D} + \frac{x}{D'} \right)}$$



Rem :  $\Delta \psi_{2/1}(M) = \frac{2\pi}{\lambda_0} \delta_{2/1} + \Delta \psi_{\text{sup}}$

$$= \frac{2\pi}{\lambda_0} \delta_{2/1} + \psi_{\text{sup}2} - \psi_{\text{sup}1}$$

$$= \frac{2\pi}{\lambda_0} \delta_{2/1} + \frac{\pi}{2} - \frac{\pi}{2}$$

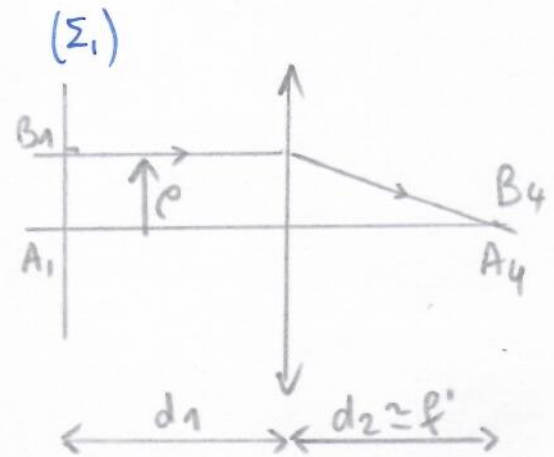
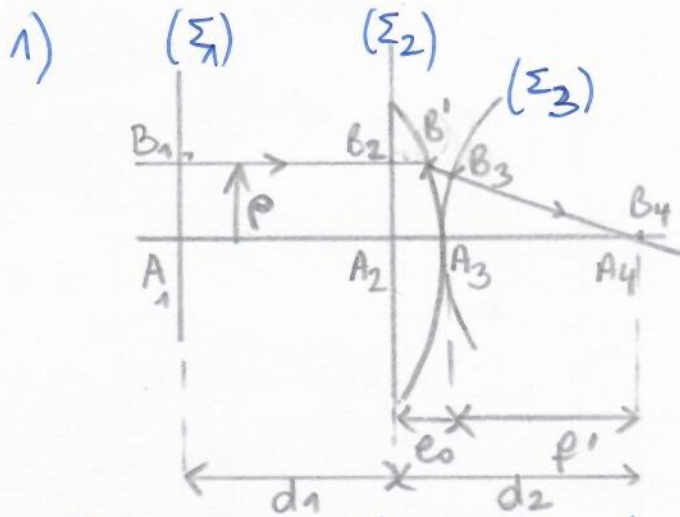
passage par un trou diffractant

$$\boxed{\Delta \psi_{2/1}(M) = \frac{2\pi}{\lambda_0} \delta_{2/1}}$$



# Ex 1.5. poly Ex 1-2 - Détermination du profil d'une lentille

TD1 - Ex (6)



On ne connaît pas la forme exacte de la lentille : pour faire des constructions on pourra utiliser la schématisation habituelle de l'optique géométrique (voir schéma ci-dessus à droite).

Méthode 1 (à partir du schéma de gauche).  
On a  $A_1$  et  $B_1 \in (\Sigma_1)$  ;  $A_2$  et  $B_2 \in (\Sigma_2)$  ;  $A_3$  et  $B_3 \in (\Sigma_3)$ .

On a  $A_4$  et  $A_1$  conjugués ainsi que  $B_4$  et  $B_1$  conjugués.

En terme de chemin optique, on a :

$$(A_1 A_4) = (B_1 B_4)$$

$$(A_1 A_2) + (A_2 A_3) + (A_3 A_4) = (B_1 B_2) + (B_2 B') + (B' B_3) + (B_3 B_4)$$

$$n e_0 = n e(p) + B' B_3$$

D'après le théorème de Pythagore :

$$[B' B_4]^2 = p^2 + (d_2 - e(p))^2 = (d_2 - e(p))^2 \left( 1 + \left( \frac{p}{d_2 - e(p)} \right)^2 \right)$$

$$B' B_4 = (d_2 - e(p)) \left( 1 + \frac{1}{2} \frac{p^2}{(d_2 - e(p))^2} \right)$$

avec  $e(p) \ll d_2$ , on a  $B' B_4 \simeq d_2 - e(p) + \frac{1}{2} \frac{p^2}{(d_2 - e(p))}$   
 $\simeq (f' + e_0 - e(p)) + \frac{1}{2} \frac{p^2}{d_2}$

$$\text{et } B' B_3 = B' B_4 - f'$$

$$\Rightarrow n e_0 = n e(p) + e_0 - e(p) + \frac{1}{2} \frac{p^2}{d_2}$$

$$e(p) [n - 1] = e_0 [n - 1] - \frac{1}{2} \frac{p^2}{d_2}$$

$$e(p) = e_0 \left( 1 - \frac{1}{2} \frac{p^2}{d_2 e_0 (n-1)} \right) = e_0 (1 - \alpha p^2) \text{ avec } \alpha = \frac{1}{2 d_2 e_0 (n-1)}$$

$$e(p) \simeq e_0 \left( 1 - \frac{1}{2} \frac{p^2}{f' e_0 (n-1)} \right) \text{ car } e_0 \ll f' = 20 \text{ cm.}$$

$f' \simeq d_2$

Méthode 2 (à partir du schéma de droite)

Si l'on utilise la schématisation habituelle de l'optique géométrique, on peut écrire directement : TD1 Ex 7

$$(A_1 A_4) = d_1 + f' + (n-1)e_0$$

$$(B_1 B_4) = d_1 + (f'^2 + \rho^2)^{1/2} + (n-1)e(\rho)$$

or  $f' \gg \rho \Rightarrow (f'^2 + \rho^2)^{1/2} = f' \left( 1 + \frac{1}{2} \frac{\rho^2}{f'^2} \right)$

les chemins optiques  $(A_1 A_4)$  et  $(B_1 B_4)$  sont égaux.

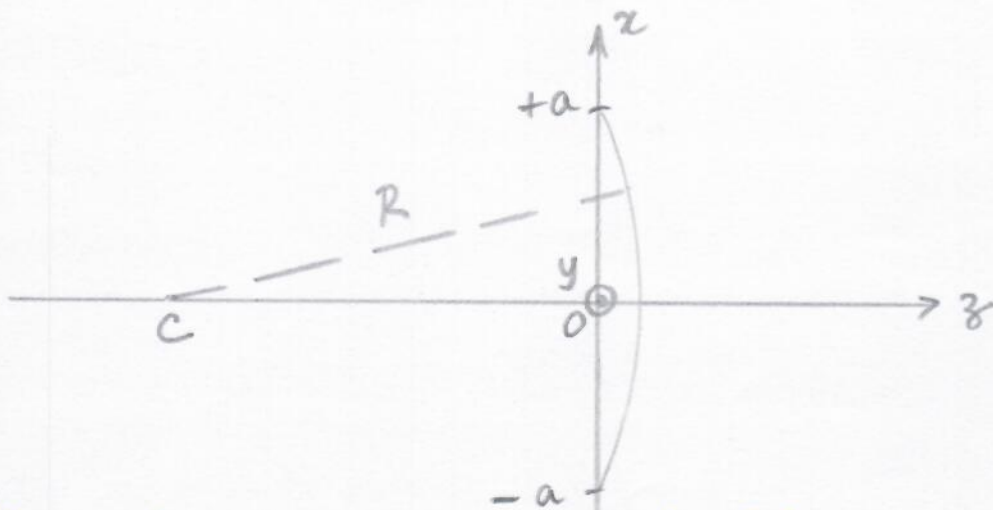
$$\cancel{d_1} + \cancel{f'} + (n-1)e_0 = \cancel{d_1} + \cancel{f'} + \frac{1}{2} \frac{\rho^2}{f'} + (n-1)e(\rho)$$

$$e(\rho) = e_0 \left( 1 - \frac{\rho^2}{2e_0 f' (n-1)} \right)$$

Remarque :  $e(\rho) = e_0 - \beta \rho^2$  Équation d'un profil parabolique.

avec  $\beta = \frac{1}{2 f' (n-1)}$

2)



Soit M appartenant à la surface bombée.

M possède des coordonnées qui vérifient l'équation de la sphère.

Le centre C de la sphère se trouve en  $\begin{cases} x_c = 0 \\ y_c = 0 \\ z_c = e(0,0) - R \\ = e_0 - R \end{cases}$

L'équation de la sphère s'écrit :

$$x^2 + y^2 + (z - z_c)^2 = R^2$$

$$(z - z_c)^2 = R^2 - x^2 - y^2$$

$$z - z_c = R \left[ 1 - \left( \frac{x^2 + y^2}{R^2} \right) \right]^{1/2}$$

$$z - z_c \approx R \left( 1 - \frac{1}{2} \frac{x^2 + y^2}{R^2} \right) = R - \left( \frac{x^2 + y^2}{2R} \right) = z - e_0 + R$$

$$z = e_0 - \left( \frac{x^2 + y^2}{2R} \right)$$



TD 1 - Ex (8)

lorsque ( $x^2 + y^2 = a^2$ ), l'épaisseur de verre est nulle  
(on se trouve au bord de la lentille).

$$z = 0 = e_0 - \left( \frac{a^2}{2R} \right) \Rightarrow e_0 = \frac{a^2}{2R}$$

D'après la question 1)

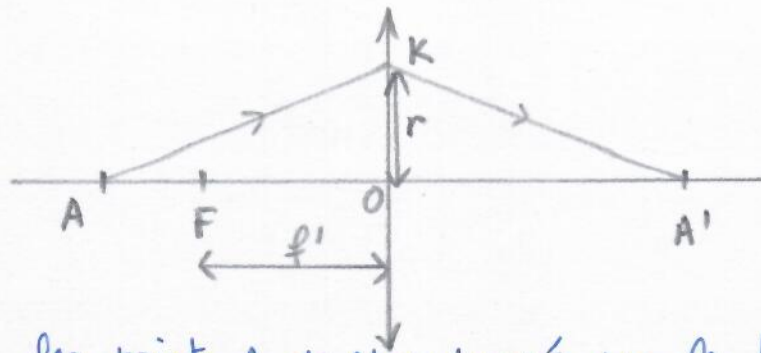
$$e(p) = e_0 - \beta p^2$$

au bord de la lentille,  $e(p=a) = 0 \Rightarrow e_0 = \beta a^2$

$$\Rightarrow \frac{a^2}{2R} = \beta a^2 \Leftrightarrow \beta = \frac{1}{2R} = \frac{1}{2f'(n-1)}$$

$$\Leftrightarrow \boxed{R = f'(n-1)} \text{ où } R \text{ est le rayon de courbure.}$$

3)



On considère les points A et A' conjugués par la lentille convergente.  
Tous les rayons issus de A et convergeant en A' parcourent le même chemin optique.

$$(AKA') = (AOA')$$

$$AK + (n-1)e(r) + KA' = AO + OA' + (n-1)e_0$$

$$\sqrt{AO^2 + r^2} + (n-1)e(r) + \sqrt{OA'^2 + r^2} = AO + OA' + (n-1)e_0$$

$$\text{Comme précédemment, } \sqrt{AO^2 + r^2} = AO \sqrt{1 + \left(\frac{r}{AO}\right)^2} \approx AO \left(1 + \frac{1}{2} \left(\frac{r^2}{AO^2}\right)\right)$$

$$\text{et } \sqrt{OA'^2 + r^2} = OA' \sqrt{1 + \left(\frac{r}{OA'}\right)^2} \approx OA' \left(1 + \frac{1}{2} \left(\frac{r^2}{OA'^2}\right)\right)$$

$$\Rightarrow \cancel{AO} + \frac{1}{2} \frac{r^2}{AO} + (n-1)e(r) + \cancel{OA'} + \frac{1}{2} \frac{r^2}{OA'} = \cancel{AO} + \cancel{OA'} + (n-1)e_0$$

$$\frac{1}{2} \frac{r^2}{AO} + \frac{1}{2} \frac{r^2}{OA'} = (n-1)(e_0 - e(r))$$

$$\text{En utilisant le résultat de la question 1), } e_0 - e(r) = \frac{r^2}{2 \cdot f'(n-1)}$$

$$\text{on obtient : } \frac{1}{AO} + \frac{1}{OA'} = \frac{1}{f'}$$

On introduit les grandeurs algébriques :  $\overline{OA'} = OA' > 0$  et

$\overline{OA} = -AO < 0$  pour obtenir la relation de conjugaison :

$$\boxed{\frac{1}{\overline{OA'}} - \frac{1}{\overline{OA}} = \frac{1}{f'}}$$